

ハドロン共鳴状態と その構造



兵藤 哲雄

東京都立大学



2021, Aug. 10th 1

目次



講義 1 : 導入

- エキゾチックハドロンの現状
- カイラル対称性と有効場の理論



講義 2 : 共鳴状態の記述

- ハミルトニアン固有状態
- 散乱理論と散乱振幅の極

講義 3 : $\Lambda(1405)$ 共鳴の構造

- $\bar{K}N$ 散乱振幅と共鳴状態
- ハドロンの複合性

観測されているハドロン (2020)

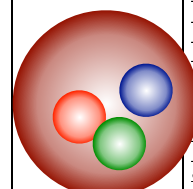
Particle Data Group (PDG) 2020年版

<http://pdg.lbl.gov/>

ρ	$1/2^+$	****	$\Delta(1232)$	$3/2^+$	****	Σ^+	$1/2^+$	****	Ξ^0	$1/2^+$	****	Ξ^{++}	****
n	$1/2^+$	****	$\Delta(1600)$	$3/2^+$	****	Σ^0	$1/2^+$	****	Ξ^-	$1/2^+$	****	Ξ_{cc}	****
$N(1440)$	$1/2^+$	****	$\Delta(1620)$	$1/2^-$	****	Σ^-	$1/2^+$	****	$\Xi(1530)$	$3/2^+$	****	Λ_{cc}	$1/2^+$
$N(1520)$	$3/2^-$	****	$\Delta(1700)$	$3/2^-$	****	$\Sigma(1385)$							
$N(1535)$	$1/2^-$	****	$\Delta(1750)$	$1/2^+$	*	$\Sigma(1580)$							
$N(1650)$	$1/2^-$	****	$\Delta(1900)$	$1/2^-$	***	$\Sigma(1620)$							
$N(1675)$	$5/2^-$	****	$\Delta(1905)$	$5/2^+$	****	$\Sigma(1660)$							
$N(1680)$	$5/2^+$	****	$\Delta(1910)$	$1/2^+$	****	$\Sigma(1670)$							
$N(1700)$	$3/2^-$	***	$\Delta(1920)$	$3/2^+$	***	$\Sigma(1750)$							
$N(1710)$	$1/2^+$	****	$\Delta(1930)$	$5/2^-$	***	$\Sigma(1775)$							
$N(1720)$	$3/2^+$	****	$\Delta(1940)$	$3/2^-$	**	$\Sigma(1780)$							
$N(1860)$	$5/2^+$	**	$\Delta(1950)$	$7/2^+$	****	$\Sigma(1880)$							
$N(1875)$	$3/2^-$	***	$\Delta(2000)$	$5/2^+$	**	$\Sigma(1900)$							
$N(1880)$	$1/2^+$	***	$\Delta(2150)$	$1/2^-$	*	$\Sigma(1910)$							
$N(1895)$	$1/2^-$	****	$\Delta(2200)$	$7/2^-$	***	$\Sigma(1915)$							
$N(1900)$	$3/2^+$	****	$\Delta(2300)$	$9/2^+$	**	$\Sigma(1940)$							
$N(1990)$	$7/2^+$	**	$\Delta(2350)$	$5/2^-$	*	$\Sigma(2010)$							
$N(2000)$	$5/2^+$	**	$\Delta(2390)$	$7/2^+$	*	$\Sigma(2030)$							
$N(2040)$	$3/2^+$	*	$\Delta(2400)$	$9/2^-$	**	$\Sigma(2070)$							
$N(2060)$	$5/2^-$	***	$\Delta(2420)$	$11/2^+$	****	$\Sigma(2080)$							
$N(2100)$	$1/2^+$	***	$\Delta(2750)$	$13/2^-$	**	$\Sigma(2100)$							
$N(2120)$	$3/2^-$	***	$\Delta(2950)$	$15/2^+$	**	$\Sigma(2160)$							
$N(2190)$	$7/2^-$	****				$\Sigma(2230)$							
$N(2220)$	$9/2^+$	****	Λ	$1/2^+$	****	$\Sigma(2250)$							
$N(2250)$	$9/2^-$	****	Λ	$1/2^-$	**	$\Sigma(2455)$							
$N(2300)$	$1/2^+$	**	$\Lambda(1405)$	$1/2^-$	****	$\Sigma(2620)$							
$N(2570)$	$5/2^-$	**	$\Lambda(1520)$	$3/2^-$	****	$\Sigma(3000)$							
$N(2600)$	$11/2^-$	***	$\Lambda(1600)$	$1/2^+$	****	Σ							
$N(2700)$	$13/2^+$	**	$\Lambda(1670)$	$1/2^-$	****								
			$\Lambda(1690)$	$3/2^-$	****								
			$\Lambda(1710)$	$1/2^+$	*								
			$\Lambda(1800)$	$1/2^-$	***								
			$\Lambda(1810)$	$1/2^+$	***								
			$\Lambda(1820)$	$5/2^+$	****								
			$\Lambda(1830)$	$5/2^-$	****								
			$\Lambda(1890)$	$3/2^+$	****								
			$\Lambda(2000)$	$1/2^-$	*								
			$\Lambda(2050)$	$3/2^-$	*								
			$\Lambda(2070)$	$3/2^+$	*								
			$\Lambda(2080)$	$5/2^-$	*								
			$\Lambda(2085)$	$7/2^+$	**								
			$\Lambda(2100)$	$7/2^-$	****								
			$\Lambda(2110)$	$5/2^+$	****								
			$\Lambda(2325)$										
			$\Lambda(2350)$										
			$\Lambda(2585)$										

Λ
 $\Lambda(1380)$
 $\Lambda(1405)$
 $\Lambda(1520)$

この状態について



バリオン162種

LIGHT UNFLAVORED ($S=C=B=0$)		STRANGE ($S=\pm 1, C=B=0$)		CHARMED, STRANGE ($C=S=\pm 1$)		$c\bar{c}$ continued $\psi(\psi\bar{\psi})$	
$\rho(P^C)$	$J(P^C)$	$\rho(P^C)$	$J(P^C)$	$\rho(P^C)$	$J(P^C)$	$\rho(P^C)$	$J(P^C)$
$1/2^+$	****	$1/2^+$	****			$\psi(3770)$	$0^-(1^-)$
$1/2^-$	****	$1/2^-$	****			$\psi(2000)$	$0^-(2^-)$
$3/2^-$	****	$3/2^-$	****			$\psi(3686)$	$0^-(3^-)$
$1/2^+$	*	$1/2^+$	*			$\psi(4040)$	$0^-(4^-)$
$1/2^-$	****	$1/2^-$	****			$\psi(4180)$	$0^-(5^-)$
$5/2^-$	****	$5/2^-$	****			$\psi(4415)$	$0^-(6^-)$
$1/2^+$	****	$1/2^+$	****			$\psi(4660)$	$0^-(7^-)$
$3/2^-$	***	$3/2^-$	***			$\psi(4700)$	$0^-(8^-)$
$1/2^+$	****	$1/2^+$	****			$\psi(4750)$	$0^-(9^-)$
$5/2^-$	****	$5/2^-$	****			$\psi(4810)$	$0^-(10^-)$
$3/2^-$	***	$3/2^-$	***			$\psi(4860)$	$0^-(11^-)$
$1/2^+$	****	$1/2^+$	****			$\psi(4910)$	$0^-(12^-)$
$3/2^+$	****	$3/2^+$	****			$\psi(4960)$	$0^-(13^-)$
$5/2^+$	**	$5/2^+$	**			$\psi(5010)$	$0^-(14^-)$
$3/2^+$	***	$3/2^+$	***			$\psi(5060)$	$0^-(15^-)$
$5/2^+$	**	$5/2^+$	**			$\psi(5110)$	$0^-(16^-)$
$7/2^+$	**	$7/2^+$	**			$\psi(5160)$	$0^-(17^-)$
$5/2^+$	**	$5/2^+$	**			$\psi(5210)$	$0^-(18^-)$
$3/2^+$	*	$3/2^+$	*			$\psi(5260)$	$0^-(19^-)$
$5/2^+$	***	$5/2^+$	***			$\psi(5310)$	$0^-(20^-)$
$1/2^+$	***	$1/2^+$	***			$\psi(5360)$	$0^-(21^-)$
$3/2^-$	***	$3/2^-$	***			$\psi(5410)$	$0^-(22^-)$
$7/2^-$	****	$7/2^-$	****			$\psi(5460)$	$0^-(23^-)$
$9/2^+$	****	$9/2^+$	****			$\psi(5510)$	$0^-(24^-)$
$9/2^-$	****	$9/2^-$	****			$\psi(5560)$	$0^-(25^-)$
$1/2^+$	**	$1/2^+$	**			$\psi(5610)$	$0^-(26^-)$
$5/2^-$	**	$5/2^-$	**			$\psi(5660)$	$0^-(27^-)$
$11/2^-$	***	$11/2^-$	***			$\psi(5710)$	$0^-(28^-)$
$13/2^+$	**	$13/2^+$	**			$\psi(5760)$	$0^-(29^-)$

$1/2^+$ ****
 $1/2^-$ **
 $1/2^-$ ****
 $3/2^-$ ****

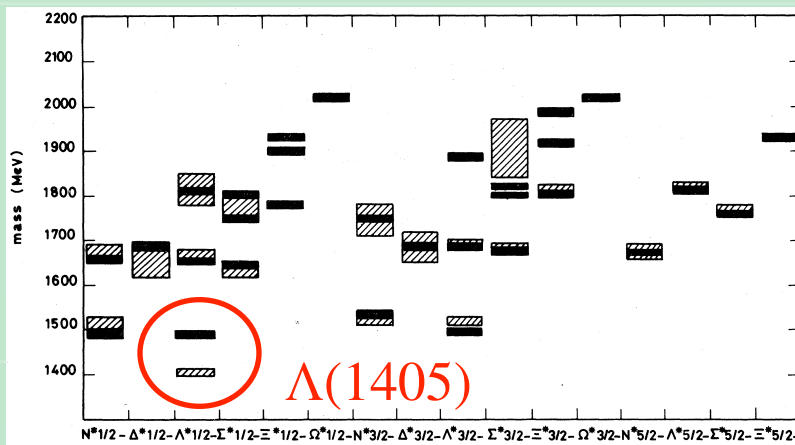
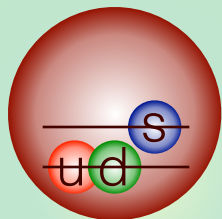
pdgLive

CHARMED ($C=\pm 1$)		BOTTOM, STRANGE ($B=S=\pm 1$)		BOTTOM, CHARMED ($B=C=\pm 1$)	
$\rho(P^C)$	$J(P^C)$	$\rho(P^C)$	$J(P^C)$	$\rho(P^C)$	$J(P^C)$
$1/2^+$	$1^-(1^-)$	$B_c(3700)^+$	$0^-(1^-)$	$B_c(4220)^+$	$0^-(1^-)$
0^+	$0^+(0^+)$	$B_c(4220)^0$	$0^+(0^+)$	$B_c(4220)^-$	$0^+(0^+)$
0^+	$0^+(0^+)$	$B_c(4220)^+$	$0^+(0^+)$	$B_c(4220)^0$	$0^+(0^+)$
0^+	$0^+(0^+)$	$B_c(4220)^0$	$0^+(0^+)$	$B_c(4220)^-$	$0^+(0^+)$
0^+	$0^+(0^+)$	$B_c(4220)^-$	$0^+(0^+)$	$B_c(4220)^+$	$0^+(0^+)$
0^+	$0^+(0^+)$	$B_c(4220)^+$	$0^+(0^+)$	$B_c(4220)^0$	$0^+(0^+)$
0^+	$0^+(0^+)$	$B_c(4220)^0$	$0^+(0^+)$	$B_c(4220)^-$	$0^+(0^+)$
0^+	$0^+(0^+)$	$B_c(4220)^-$	$0^+(0^+)$	$B_c(4220)^+$	$0^+(0^+)$
0^+	$0^+(0^+)$	$B_c(4220)^+$	$0^+(0^+)$	$B_c(4220)^0$	$0^+(0^+)$
0^+	$0^+(0^+)$	$B_c(4220)^0$	$0^+(0^+)$	$B_c(4220)^-$	$0^+(0^+)$
0^+	$0^+(0^+)$	$B_c(4220)^-$	$0^+(0^+)$	$B_c(4220)^+$	$0^+(0^+)$
0^+	$0^+(0^+)$	$B_c(4220)^+$	$0^+(0^+)$	$B_c(4220)^0$	$0^+(0^+)$
0^+	$0^+(0^+)$	$B_c(4220)^0$	$0^+(0^+)$	$B_c(4220)^-$	$0^+(0^+)$
0^+	$0^+(0^+)$	$B_c(4220)^-$	$0^+(0^+)$	$B_c(4220)^+$	$0^+(0^+)$
0^+	$0^+(0^+)$	$B_c(4220)^+$	$0^+(0^+)$	$B_c(4220)^0$	$0^+(0^+)$
0^+	$0^+(0^+)$	$B_c(4220)^0$	$0^+(0^+)$	$B_c(4220)^-$	$0^+(0^+)$
0^+	$0^+(0^+)$	$B_c(4220)^-$	$0^+(0^+)$	$B_c(4220)^+$	$0^+(0^+)$
0^+	$0^+(0^+)$	$B_c(4220)^+$	$0^+(0^+)$	$B_c(4220)^0$	$0^+(0^+)$
0^+	$0^+(0^+)$	$B_c(4220)^0$	$0^+(0^+)$	$B_c(4220)^-$	$0^+(0^+)$
0^+	$0^+(0^+)$	$B_c(4220)^-$	$0^+(0^+)$	$B_c(4220)^+$	$0^+(0^+)$
0^+	$0^+(0^+)$	$B_c(4220)^+$	$0^+(0^+)$	$B_c(4220)^0$	$0^+(0^+)$
0^+	$0^+(0^+)$	$B_c(4220)^0$	$0^+(0^+)$	$B_c(4220)^-$	$0^+(0^+)$
0^+	$0^+(0^+)$	$B_c(4220)^-$	$0^+(0^+)$	$B_c(4220)^+$	$0^+(0^+)$
0^+	$0^+(0^+)$	$B_c(4220)^+$	$0^+(0^+)$	$B_c(4220)^0$	$0^+(0^+)$
0^+	$0^+(0^+)$	$B_c(4220)^0$	$0^+(0^+)$	$B_c(4220)^-$	$0^+(0^+)$
0^+	$0^+(0^+)$	$B_c(4220)^-$	$0^+(0^+)$	$B_c(4220)^+$	$0^+(0^+)$
0^+	$0^+(0^+)$	$B_c(4220)^+$	$0^+(0^+)$	$B_c(4220)^0$	$0^+(0^+)$
0^+	$0^+(0^+)$	$B_c(4220)^0$	$0^+(0^+)$	$B_c(4220)^-$	$0^+(0^+)$
0^+	$0^+(0^+)$	$B_c(4220)^-$	$0^+(0^+)$	$B_c(4220)^+$	$0^+(0^+)$
0^+	$0^+(0^+)$	$B_c(4220)^+$	$0^+(0^+)$	$B_c(4220)^0$	$0^+(0^+)$
0^+	$0^+(0^+)$	$B_c(4220)^0$	$0^+(0^+)$	$B_c(4220)^-$	0

$\Lambda(1405)$ と $\bar{K}N$ 散乱

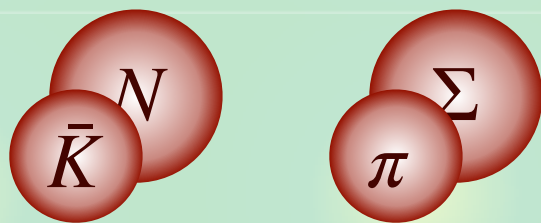
$\Lambda(1405)$ は標準的な描像で記述できない → エキゾチック候補

N. Isgur and G. Karl, Phys. Rev. D18, 4187 (1978)

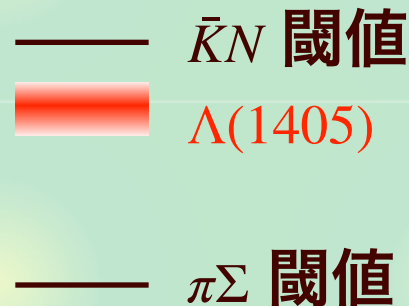


チャンネル結合散乱での共鳴状態

- MB状態との結合



エネルギー ↑



$\bar{K}N$ - $\pi\Sigma$ 散乱の精密な解析が必要

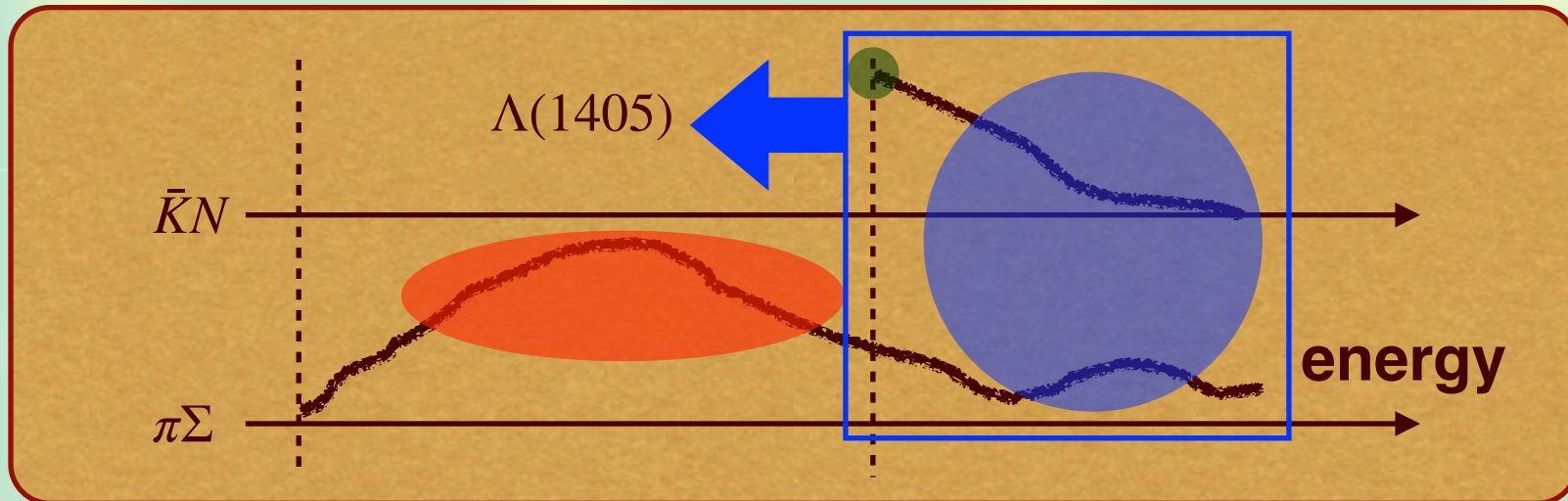
$\bar{K}N$ 相互作用に関する実験データ

$\bar{K}N$ 閾値より上: 直接的な制限

- K^-p 散乱断面積 (古いデータ)
- $\bar{K}N$ 閾値分岐比 (古いデータ)
- K^-p 散乱長 (新しいデータ: SIDDHARTA)

$\bar{K}N$ 閾値より下: 間接的な制限

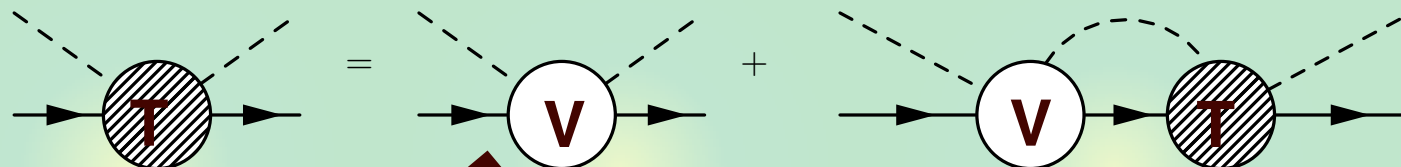
- $\pi\Sigma$ 不変質量分布 (新しいデータ: LEPS, CLAS, HADES, ...)



現実的な散乱振幅の構築

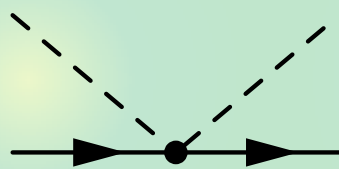
チャンネル結合 ($\bar{K}N, \pi\Sigma, \pi\Lambda, \eta\Lambda, \eta\Sigma, K\Xi$) カイラルSU(3)動力学

Y. Ikeda, T. Hyodo, W. Weise, PLB 706, 63 (2011); NPA 881 98 (2012)



カイラル摂動論

1) TW項

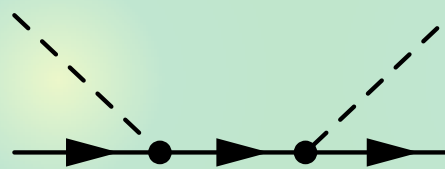


$\mathcal{O}(p)$

6 cutoffs

TW model

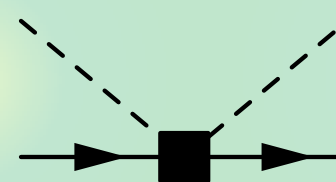
2) ボルン項



$\mathcal{O}(p)$

TWB model

3) NLO項



$\mathcal{O}(p^2)$

7 LECs

NLO model

実験データとの比較

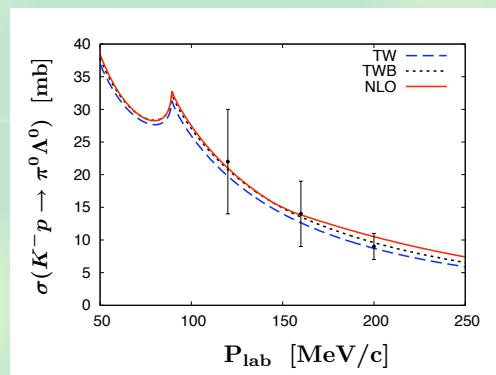
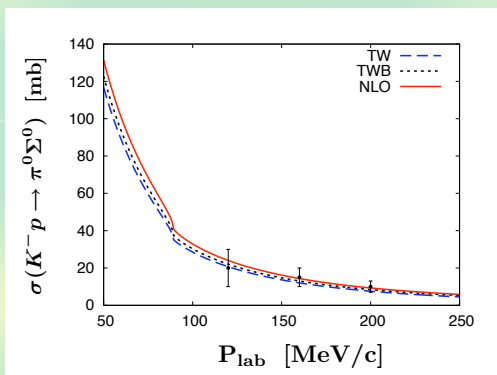
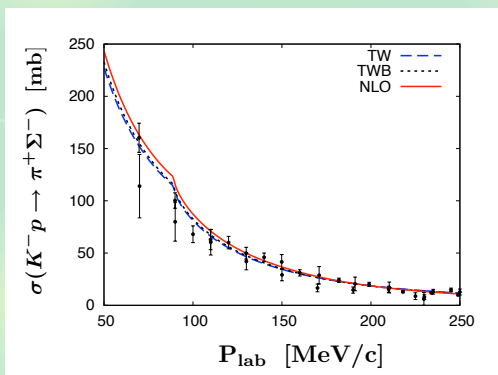
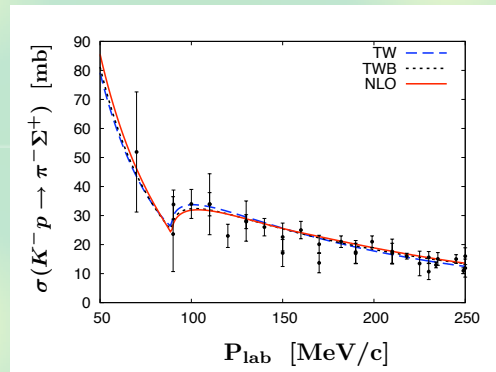
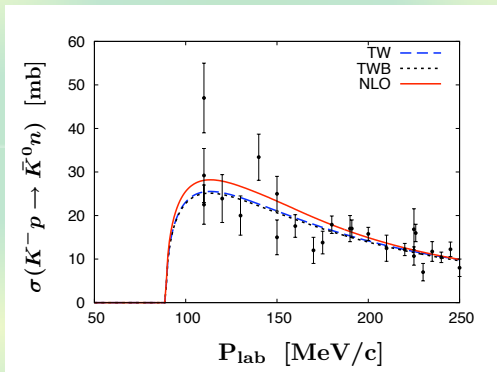
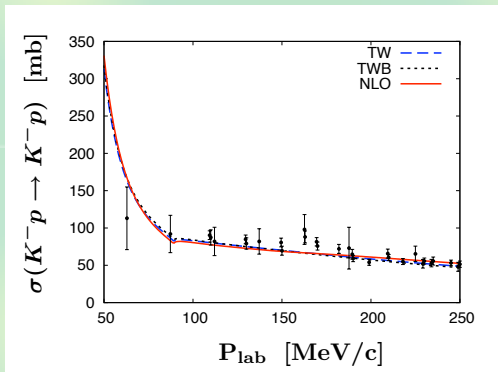
K at rest

	TW	TWB	NLO	Experiment
ΔE [eV]	373	377	306	$283 \pm 36 \pm 6$ [10]
Γ [eV]	495	514	591	$541 \pm 89 \pm 22$ [10]
γ	2.36	2.36	2.37	2.36 ± 0.04 [11]
R_n	0.20	0.19	0.19	0.189 ± 0.015 [11]
R_c	0.66	0.66	0.66	0.664 ± 0.011 [11]
$\chi^2/\text{d.o.f}$	1.12	1.15	0.96	

} **SIDDHARTA**

} 閾値分岐比

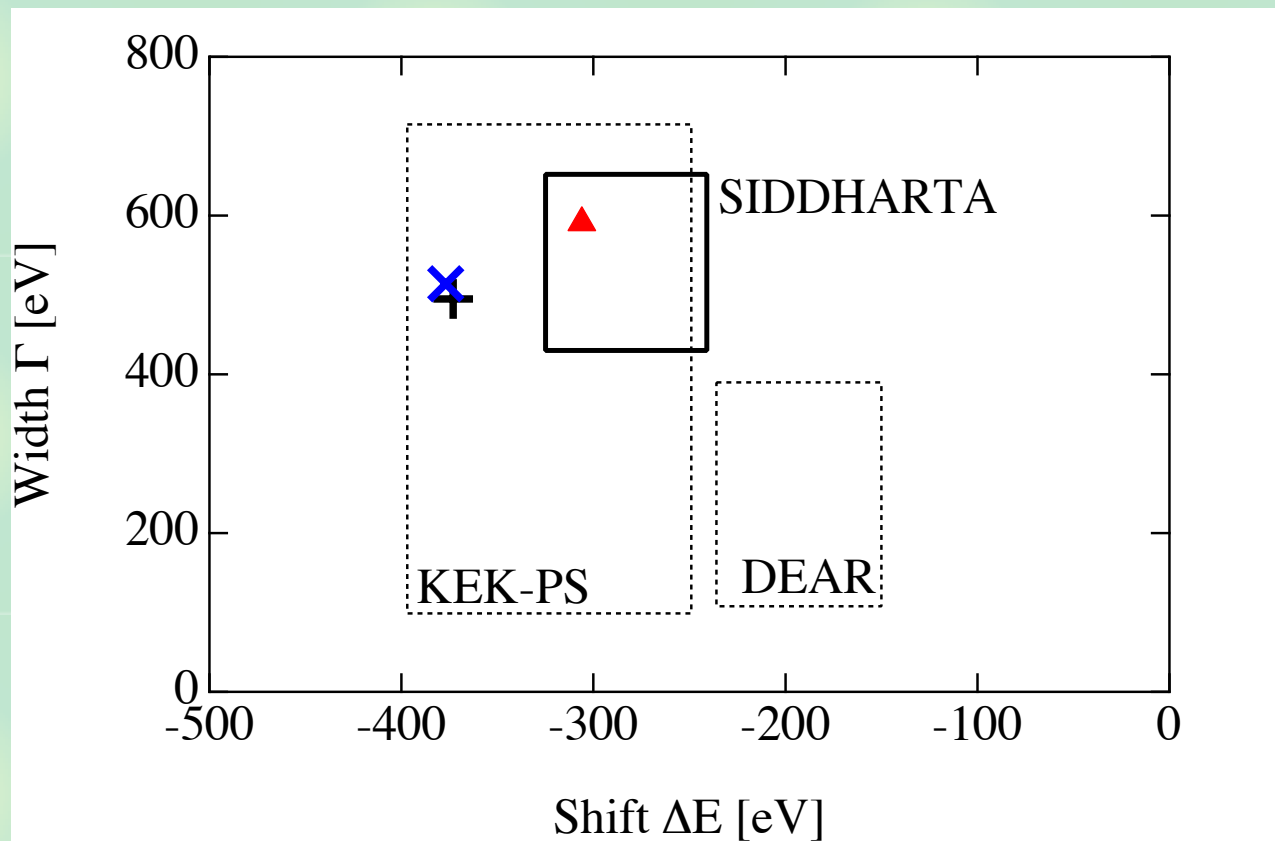
K⁻p 散乱断面積



現存するデータを高精度で再現 ($\chi^2/\text{d.o.f} \sim 1$)

SIDDHARTAとの比較

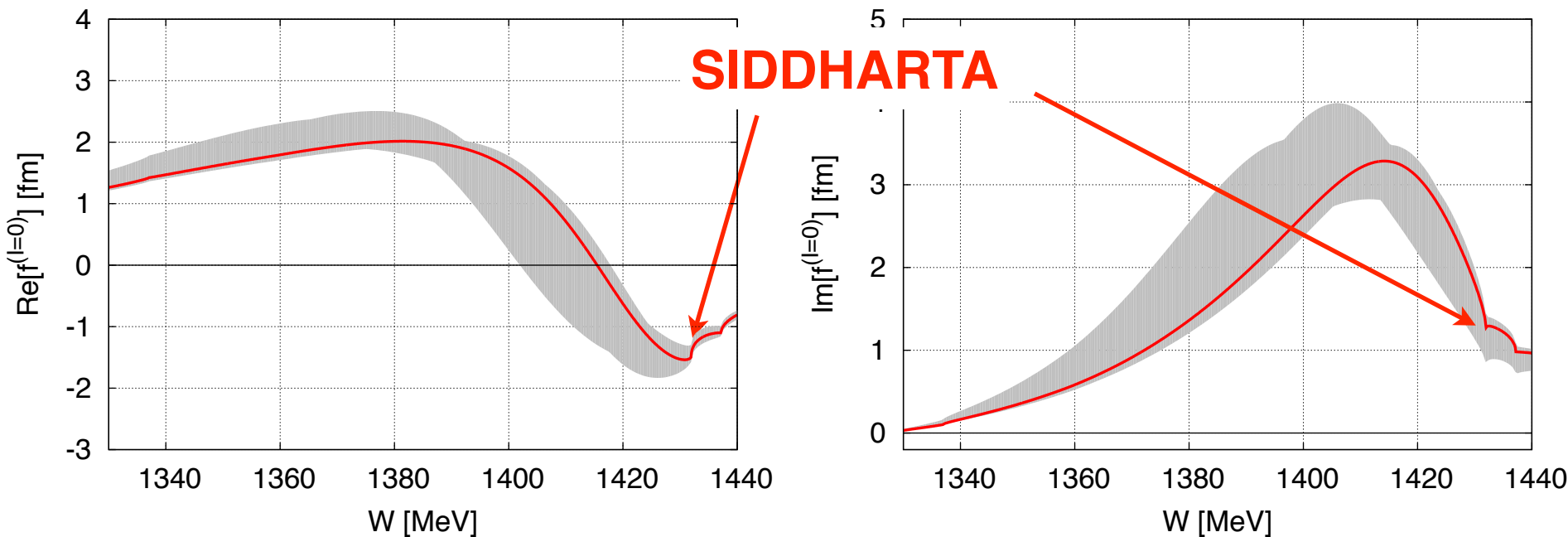
	TW	TWB	NLO
$\chi^2/\text{d.o.f.}$	1.12	1.15	0.957



TW、**TWB**も十分だが、**best-fit**には**NLO**が必要

閾値下への外挿

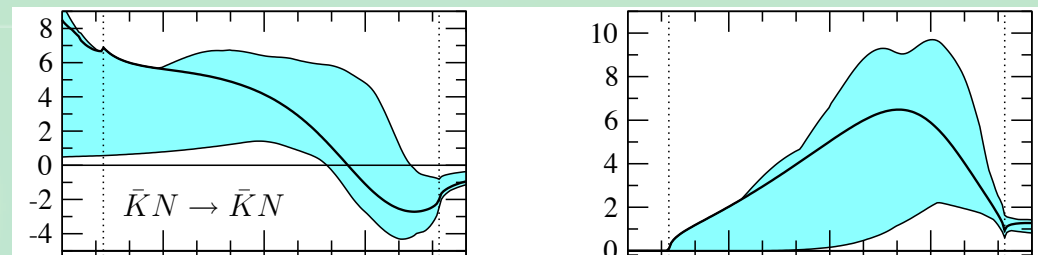
閾値下での $\bar{K}N \rightarrow \bar{K}N(I=0)$ 散乱振幅の不定性



Y. Kamiya, K. Miyahara, S. Ohnishi, Y. Ikeda, T. Hyodo, E. Oset, W. Weise, NPA 954, 41 (2016)

- c.f. SIDDHARTAなし

R. Nissler, Doctoral Thesis (2007)



SIDDHARTA が閾値下への外挿に本質的

複素エネルギーへの外挿：two poles

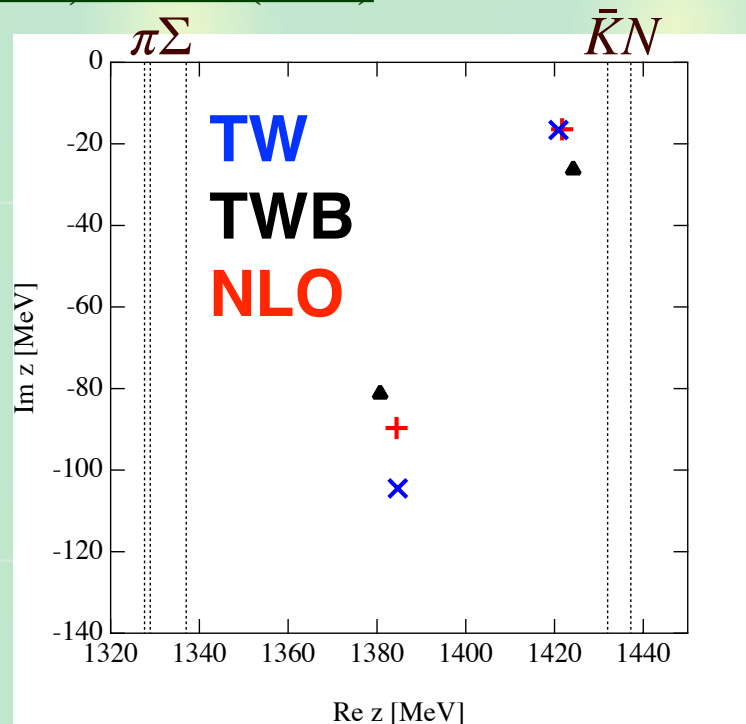
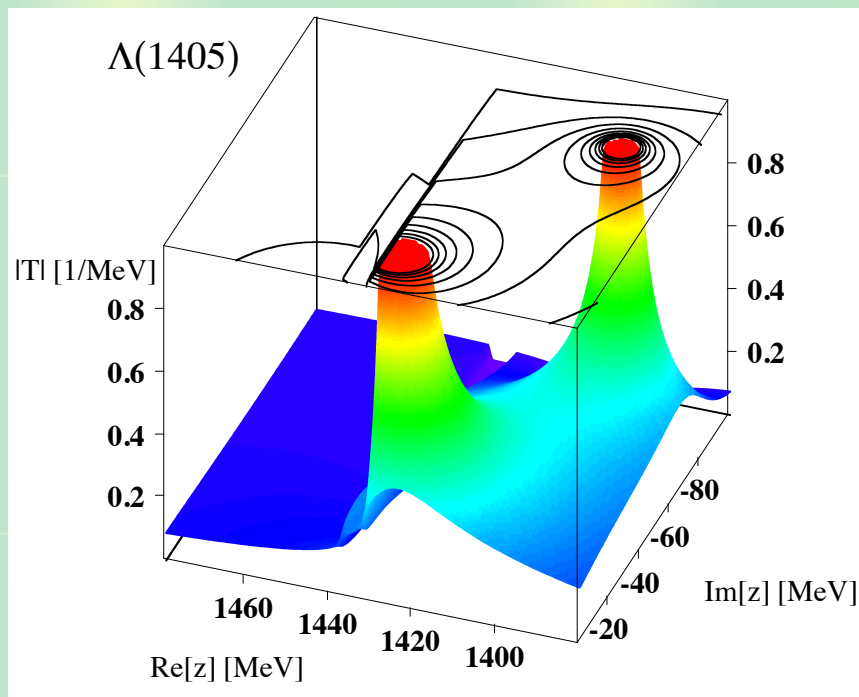
極が2つ：2つの固有状態の重ね合わせ

J.A. Oller, U.G. Meißner, PLB 500, 263 (2001);

D. Jido, J.A. Oller, E. Oset, A. Ramos, U.G. Meißner, NPA 723, 205 (2003);

U.G. Meißner, Symmetry 12, 981 (2020); M. Mai, arXiv: 2010.00056 [nucl-th];

T. Hyodo, M. Niyama, Prog. Part. Nucl. Phys. 120, 103868 (2021)



T. Hyodo, D. Jido, Prog. Part. Nucl. Phys. 67, 55 (2012)

NLO 解析によってtwo-pole構造が検証された

PDGの更新

PDGの2020年の更新

Y. Ikeda, T. Hyodo, W. Weise, PLB 706, 63 (2011); NPA 881, 98 (2012); ▲

Z.H. Guo, J.A. Oller, PRC87, 035202 (2013); ✕

M. Mai, U.G. Meißner, EPJA51, 30 (2015) ■ ○

- Particle Listing section:

Citation: P.A. Zyla *et al.* (Particle Data Group), Prog. Theor. Exp. Phys. **2020**, 083C01 (2020)

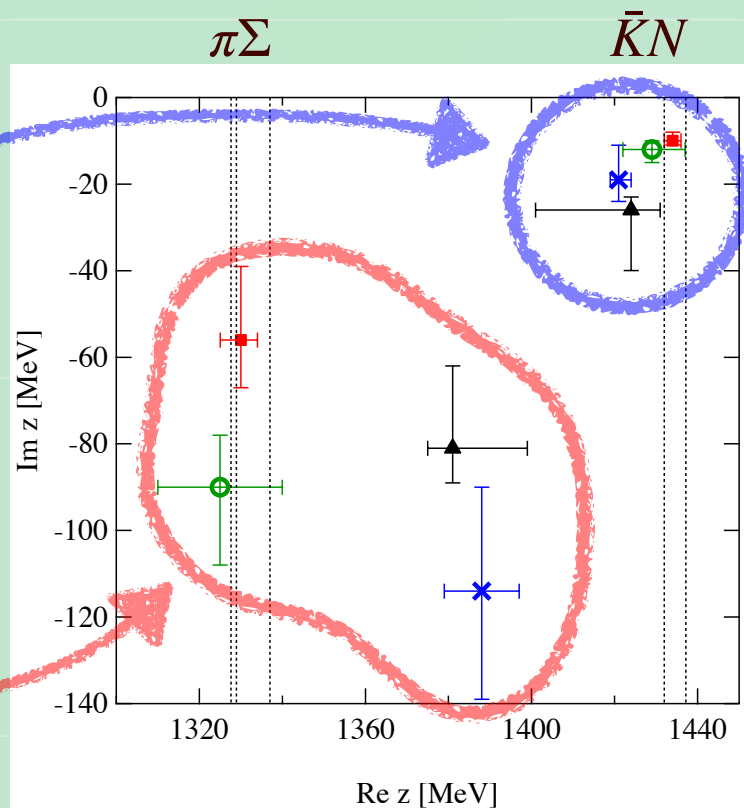
$\Lambda(1405) 1/2^-$

$I(J^P) = 0(\frac{1}{2}^-)$ Status: ****

Citation: P.A. Zyla *et al.* (Particle Data Group), Prog. Theor. Exp. Phys. **2020**, 083C01 (2020)

$\Lambda(1380) 1/2^-$

$J^P = \frac{1}{2}^-$ Status: **
new!



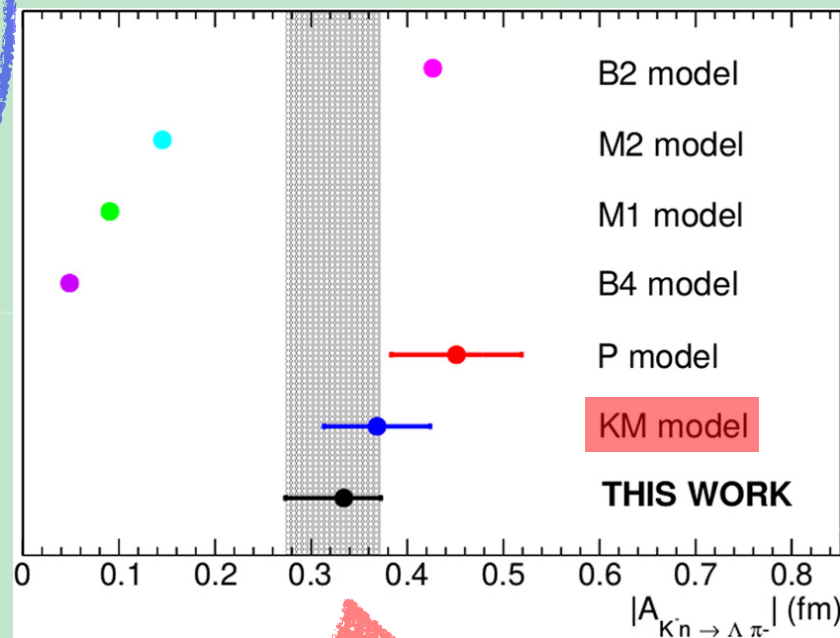
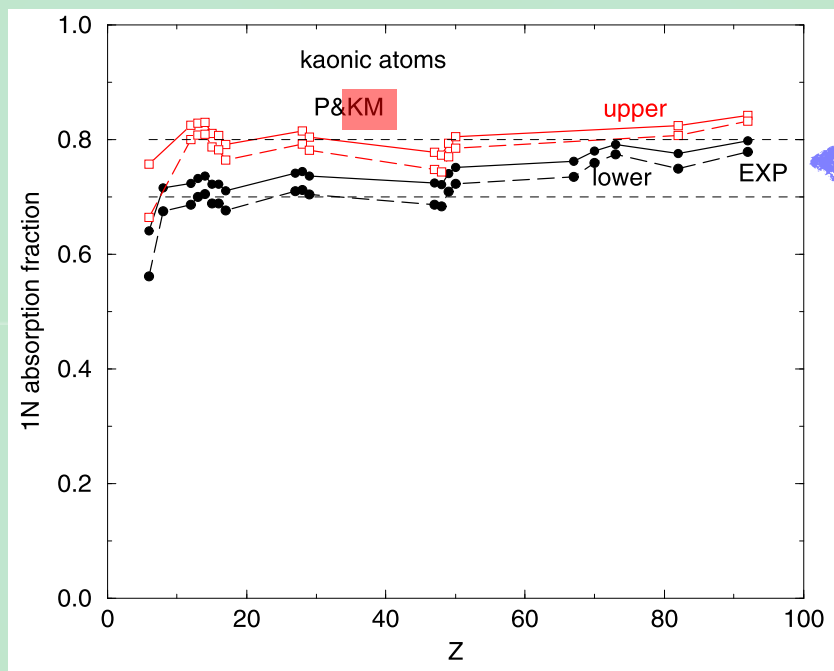
T. Hyodo, M. Niiyama, Prog. Part. Nucl. Phys. 120, 103868 (2021)

- “ $\Lambda(1405)$ ” の極は1405 MeVではなく ~ 1420 MeVに位置する
- Lower pole : 新しい two-star 共鳴 $\Lambda(1380)$

さらなる実験との比較

K^- 中間子原子の1核子吸収の割合

E. Friedman, A. Gal, NPA959, 66 (2017)



DAΦNEでの ^4He による K^- 吸収からの $|f_{K^-n \rightarrow \pi^- \Lambda}|$

K. Piscicchia, *et al.*, PLB782, 339 (2018)

散乱振幅 (KM model) はこれらの解析と整合的

新しいデータ： K^-p 相関関数

K^-p 散乱断面積

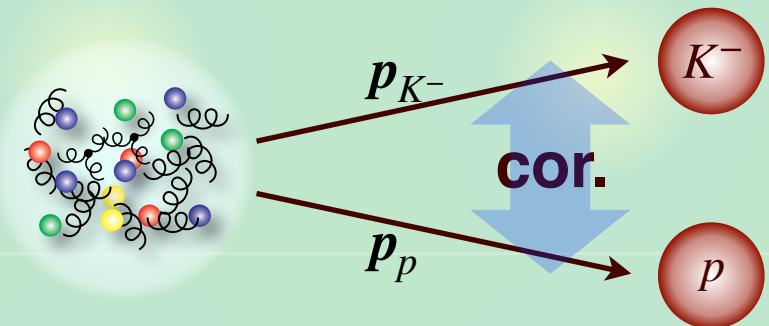
Y. Ikeda, T. Hyodo, W. Weise, PLB 706, 63 (2011)

- 古いデータで精度が良くない

K^-p 相関関数

S. Acharya et al. (ALICE), PRL 124, 092301 (2020)

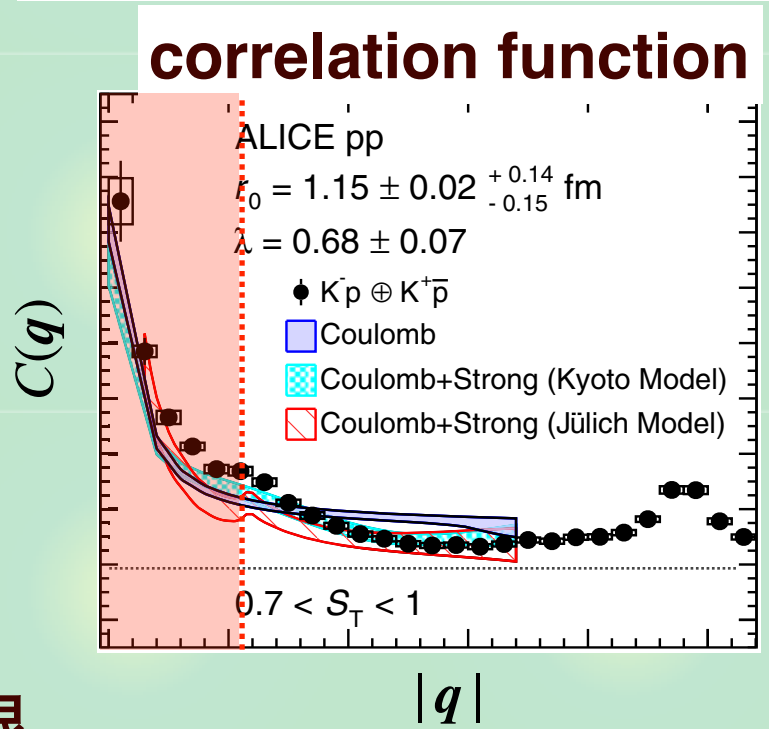
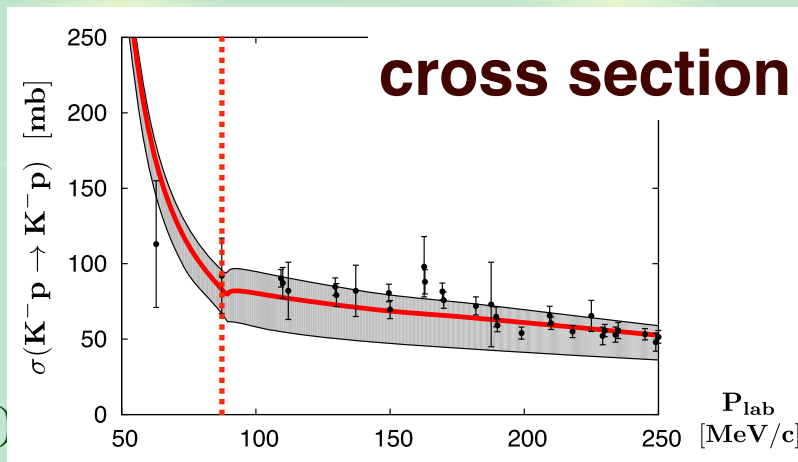
$$C(q) = \frac{N_{K^-p}(p_{K^-}, p_p)}{N_{K^-}(p_{K^-})N_p(p_p)}, \quad q \sim p_{K^-} - p_p$$



- 高い精度 (\bar{K}^0n カスプが見える)

- \bar{K}^0n 閾値下のエネルギーでのデータ

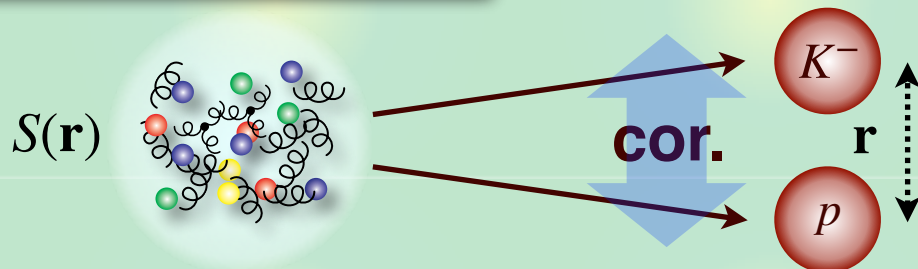
→ $\Lambda(1405)$ の理論に関する重要な制限



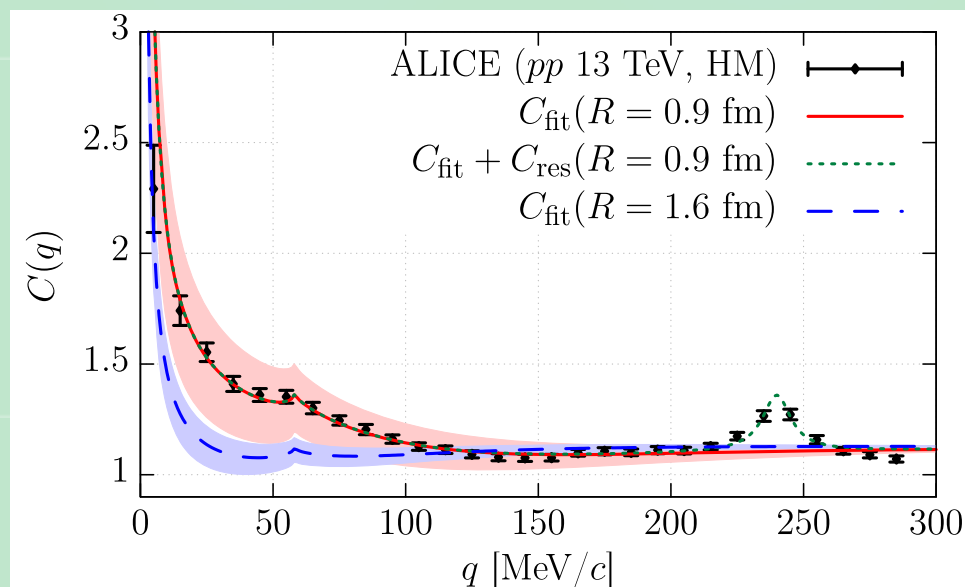
カイラルSU(3)動力学の予言

$C(q)$ の理論計算

$$C(q) \simeq \int d^3r S(r) |\Psi_q^{(-)}(r)|^2$$



- 波動関数 $\Psi_q^{(-)}(r)$: チャンネル結合 $\bar{K}N-\pi\Sigma-\pi\Lambda$ ポテンシャル
- ソース関数 $S(r)$: K^+p のデータから決定



Y. Kamiya, T. Hyodo, K. Morita, A. Ohnishi, W. Weise. PRL124, 132501 (2020)

実験の相関関数がよく再現される

目次



講義 1 : 導入

- エキゾチックハドロンの現状
- カイラル対称性と有効場の理論



講義 2 : 共鳴状態の記述

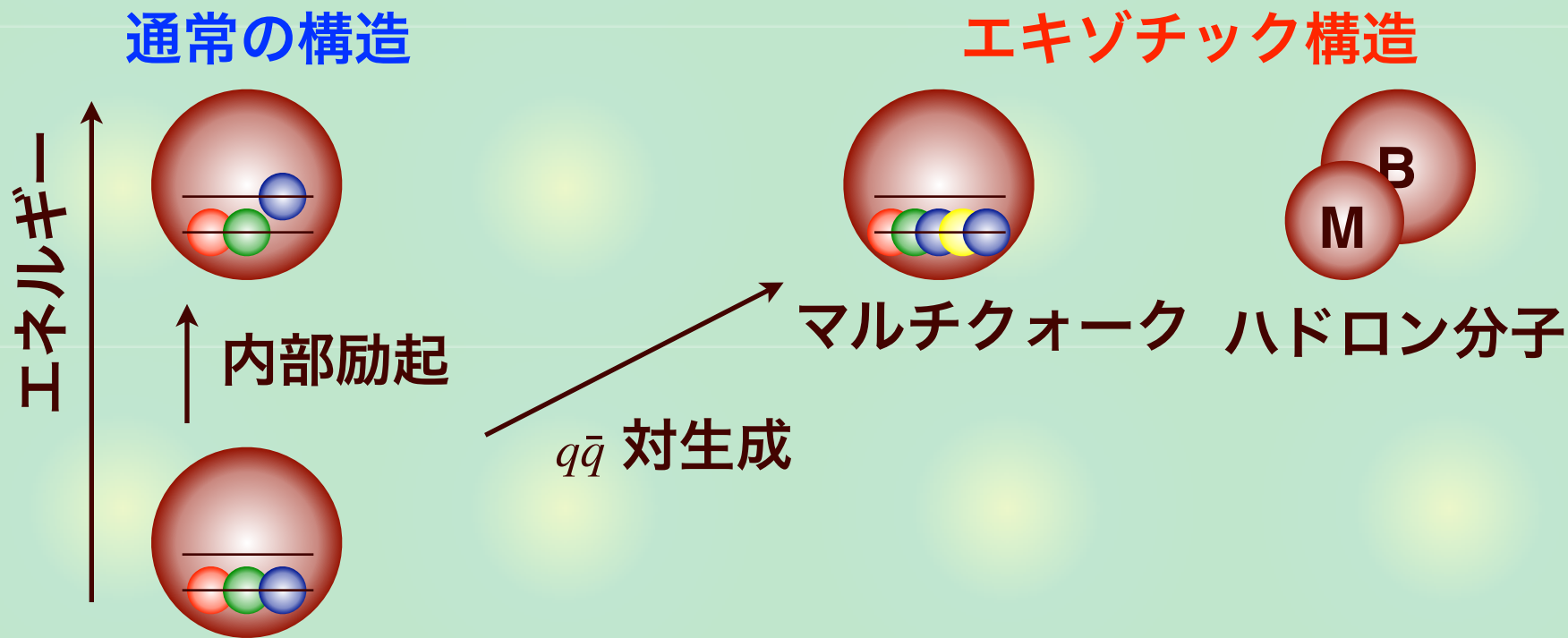
- ハミルトニアンの固有状態
- 散乱理論と散乱振幅の極

講義 3 : $\Lambda(1405)$ 共鳴の構造

- $\bar{K}N$ 散乱振幅と共鳴状態
- ハドロンの複合性

ハドロンの励起

励起バリオンの記述



QCDでは qqq 以外の構造が自然に出てくる

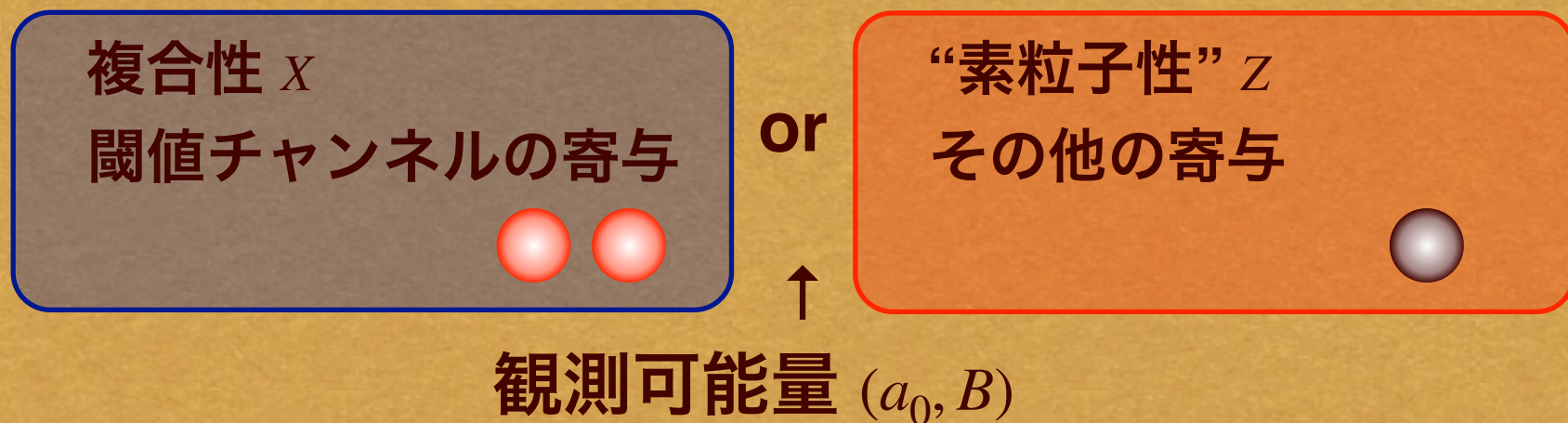
- 一般のバリオンは qqq とエキゾチック構造の線型結合

-> どのようにして異なる構造を判別するか？

ハドロンの複合性

- 多様な励起ハドロンの内部構造を判別したい
- 閾値近傍の束縛状態に対する弱束縛関係式

S. Weinberg, Phys. Rev. 137, B672 (1965)



- 有効場の理論を用いて不安定状態へ拡張し、解釈可能な方法でハドロン共鳴の複合性を調べる

安定状態の弱束縛関係式

s波弱束縛状態 ($R \gg R_{typ}$) の複合性 X

S. Weinberg, Phys. Rev. 137, B672 (1965);

T. Hyodo, Int. J. Mod. Phys. A 28, 1330045 (2013)

$$|d\rangle = \sqrt{X} |NN\rangle + \sqrt{1-X} |\text{others}\rangle$$



相互作用の長さ

$$a_0 = R \left\{ \frac{2X}{1+X} + \mathcal{O}\left(\frac{R_{typ}}{R}\right) \right\}, \quad R = \frac{1}{\sqrt{2\mu B}}$$

↑
散乱長

↑
束縛状態の波動関数の広がり

- 重陽子は NN 複合状態 : $a_0 \sim R \Rightarrow X \sim 1$

- 内部構造 \leftarrow 観測可能量 (a_0, B)

問題：安定状態しか適用できない

(i) The particle must be stable; else Z is undefined. (However, it may be an adequate approximation to ignore the decay modes of a very narrow resonance.)
(ii) The particle must couple to a two-particle channel with threshold not too much above the particle mass.
(iii) It is crucial that this two-body channel have zero orbital angular momentum l , since for $l \neq 0$ the factor $(E)^{l/2}$ in the integrands of (24) and (32) would be $E^{l+(1/2)}$, and the integrals could not be approximated by their low-energy parts.

有効場の理論

閾値近傍に束縛状態のある低エネルギー散乱の記述

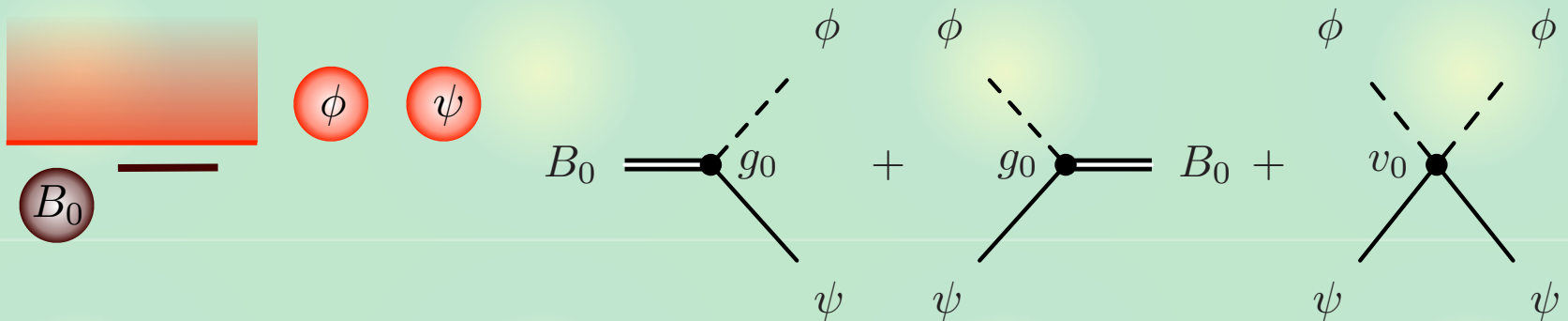
- 接触相互作用の非相対論的EFT

D.B. Kaplan, Nucl. Phys. B494, 471 (1997)

E. Braaten, M. Kusunoki, D. Zhang, Annals Phys. 323, 1770 (2008)

$$H_{\text{free}} = \int d\mathbf{r} \left[\frac{1}{2M} \nabla \psi^\dagger \cdot \nabla \psi + \frac{1}{2m} \nabla \phi^\dagger \cdot \nabla \phi + \frac{1}{2M_0} \nabla B_0^\dagger \cdot \nabla B_0 + \omega_0 B_0^\dagger B_0 \right]$$

$$H_{\text{int}} = \int d\mathbf{r} \left[g_0 \left(B_0^\dagger \phi \psi + \psi^\dagger \phi^\dagger B_0 \right) + v_0 \psi^\dagger \phi^\dagger \phi \psi \right]$$



- **カットオフ** : $\Lambda \sim 1/R_{\text{typ}}$ (本来の相互作用の長さスケール)

- 相互作用が点状に見える低エネルギー $p \ll \Lambda$ で有効

複合性と”素粒子性”

固有状態：

$$H_{\text{free}} |B_0\rangle = \omega_0 |B_0\rangle, \quad H_{\text{free}} |\mathbf{p}\rangle = \frac{\mathbf{p}^2}{2\mu} |\mathbf{p}\rangle$$

相互作用なし (離散+連続)

$$(H_{\text{free}} + H_{\text{int}}) |B\rangle = -B |B\rangle$$

相互作用あり (束縛状態)

- 束縛状態 $|B\rangle$ の規格化+完全性関係式

$$\langle B|B\rangle = 1, \quad 1 = |B_0\rangle\langle B_0| + \int \frac{d\mathbf{p}}{(2\pi)^3} |\mathbf{p}\rangle\langle \mathbf{p}|$$

- 自由な固有状態への射影

$$1 = Z + X, \quad Z \equiv |\langle B_0|B\rangle|^2, \quad X \equiv \int \frac{d\mathbf{p}}{(2\pi)^3} |\langle \mathbf{p}|B\rangle|^2$$

“素粒子性”



複合性

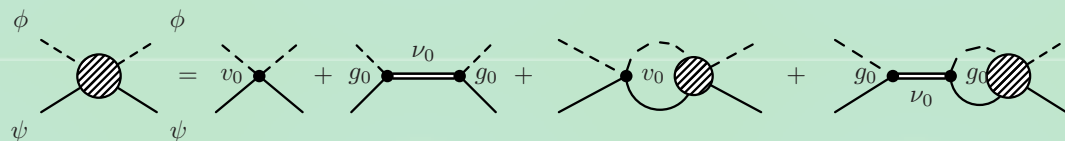


Z, X : 非負実数 \rightarrow 確率として解釈できる

弱束縛関係式

$\psi\phi$ 散乱振幅 (厳密な結果)

$$f(E) = -\frac{\mu}{2\pi} \frac{1}{[v(E)]^{-1} - G(E)}$$



$$v(E) = v_0 + \frac{g_0^2}{E - \omega_0}, \quad G(E) = \frac{1}{2\pi^2} \int_0^\Lambda dp \frac{p^2}{E - p^2/(2\mu) + i0^+}$$

複合性 $X \leftarrow v(E), G(E)$

$$X = \frac{G'(-B)}{G'(-B) - [1/v(-B)]'}$$

散乱長 a_0 を $1/R = \sqrt{2\mu B}$ で展開：主要項の係数が X で表現できる

$$a_0 = -f(E=0) = R \left\{ \frac{2X}{1+X} + \mathcal{O}\left(\frac{R_{\text{typ}}}{R}\right) \right\} \text{くりこみ依存}$$

くりこみ不変

$R \gg R_{\text{typ}}$ (弱束縛) のとき誤差項が無視でき $X \leftarrow (a_0, B)$

不安定状態への拡張

崩壊チャンネルを導入

$$H'_{\text{free}} = \int d\mathbf{r} \left[\frac{1}{2M'} \nabla \psi'^{\dagger} \cdot \nabla \psi' - \nu_{\psi} \psi'^{\dagger} \psi' + \frac{1}{2m'} \nabla \phi'^{\dagger} \cdot \nabla \phi' - \nu_{\phi} \phi'^{\dagger} \phi' \right]$$

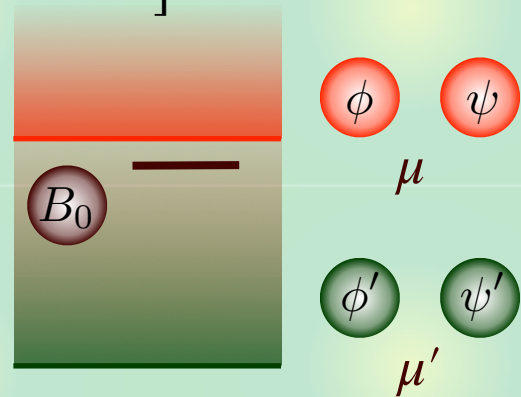
$$H'_{\text{int}} = \int d\mathbf{r} \left[g'_0 \left(B_0^{\dagger} \phi' \psi' + \psi'^{\dagger} \phi'^{\dagger} B_0 \right) + v'_0 \psi'^{\dagger} \phi'^{\dagger} \phi' \psi' + v_0^t (\psi'^{\dagger} \phi'^{\dagger} \phi' \psi' + \psi'^{\dagger} \phi'^{\dagger} \phi \psi) \right]$$

準束縛状態：固有値が複素数

$$H = H_{\text{free}} + H'_{\text{free}} + H_{\text{int}} + H'_{\text{int}}$$

$$H|h\rangle = E_h|h\rangle, \quad E_h \in \mathbb{C}$$

$$\nu_{\psi} + \nu_{\phi} = \nu$$



一般化された関係式：閾値エネルギー差の補正項

$$a_0 = R \left\{ \frac{2X}{1+X} + \mathcal{O} \left(\left| \frac{R_{\text{typ}}}{R} \right| \right) + \mathcal{O} \left(\left| \frac{\ell}{R} \right|^3 \right) \right\}, \quad R = \frac{1}{\sqrt{-2\mu E_h}}, \quad \ell \equiv \frac{1}{\sqrt{2\mu\nu}}$$

Y. Kamiya, T. Hyodo, PRC93, 035203 (2016); PTEP2017, 023D02 (2017)

$|R| \gg (R_{\text{typ}}, \ell)$ のとき誤差項が無視でき $X \leftarrow (a_0, E_h)$

複素の複合性の解釈

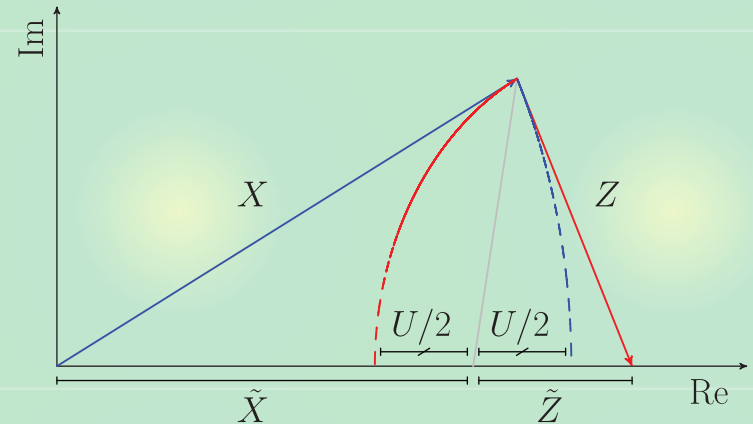
不安定状態 $\rightarrow Z$ と X は複素数

$$Z + X = 1, \quad Z, X \in \mathbb{C}$$

- 確率解釈？

新しい定義

$$\tilde{Z} = \frac{1 - |X| + |Z|}{2}, \quad \tilde{X} = \frac{1 - |Z| + |X|}{2}$$



- **確率**として解釈できる条件 $\tilde{Z} + \tilde{X} = 1, \quad \tilde{Z}, \tilde{X} \in [0, 1]$

- 束縛状態極限で通常 Z と X に一致

$U/2$: 解釈の不定性

$$U = |Z| + |X| - 1$$

c.f. T. Berggren, Phys. Lett. 33B, 547 (1970)

- 意味のある解釈は $U/2$ が小さいときのみ可能

複合性の評価

一般化された弱束縛関係式

$$a_0 = R \left\{ \frac{2X}{1+X} + \mathcal{O} \left(\left| \frac{R_{\text{typ}}}{R} \right| \right) + \mathcal{O} \left(\left| \frac{\ell}{R} \right|^3 \right) \right\}, \quad R = \frac{1}{\sqrt{-2\mu E_h}}, \quad \ell \equiv \frac{1}{\sqrt{2\mu\nu}}$$

いくつかのグループによる (a_0, E_h) の決定

- 誤差項を無視すると

	E_h [MeV]	a_0 [fm]	$X_{\bar{K}N}$	$\tilde{X}_{\bar{K}N}$	$U/2$
Set 1 [35]	$-10 - i26$	$1.39 - i0.85$	$1.2 + i0.1$	1.0	0.3
Set 2 [36]	$-4 - i8$	$1.81 - i0.92$	$0.6 + i0.1$	0.6	0.0
Set 3 [37]	$-13 - i20$	$1.30 - i0.85$	$0.9 - i0.2$	0.9	0.1
Set 4 [38]	$2 - i10$	$1.21 - i1.47$	$0.6 + i0.0$	0.6	0.0
Set 5 [38]	$-3 - i12$	$1.52 - i1.85$	$1.0 + i0.5$	0.8	0.3

- 全ての場合で $X \sim 1$ で $U/2$ (解釈の不定性) は小さい

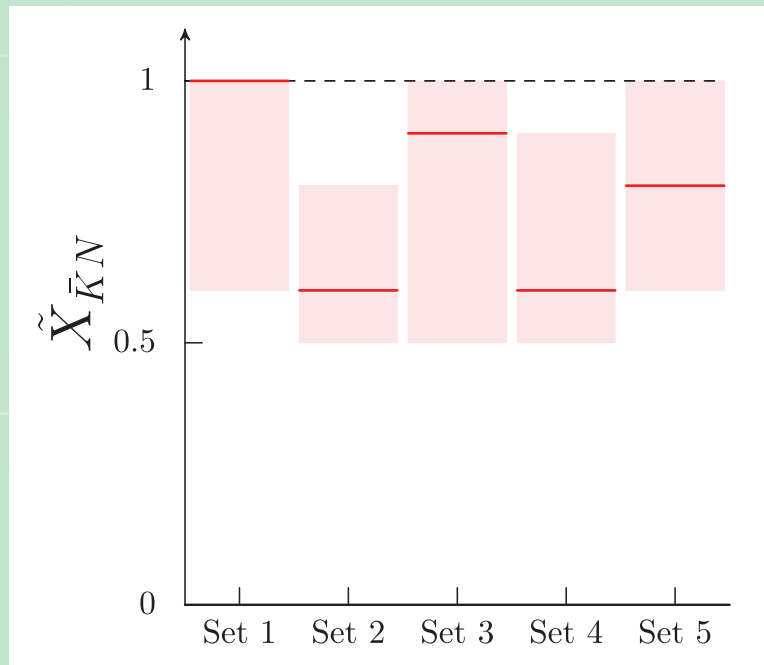
$\Lambda(1405)$ は $\bar{K}N$ 複合成分支配的 ← 観測可能量

誤差の見積もり

誤差項の見積もり： $|R| \sim 2 \text{ fm}$

$$a_0 = R \left\{ \frac{2X}{1+X} + \mathcal{O}\left(\left|\frac{R_{\text{typ}}}{R}\right|\right) + \mathcal{O}\left(\left|\frac{\ell}{R}\right|^3\right) \right\}, \quad R = \frac{1}{\sqrt{-2\mu E_h}}, \quad \ell \equiv \frac{1}{\sqrt{2\mu\nu}}$$

- ρ メソン交換描像： $R_{\text{typ}} \sim 0.25 \text{ fm}$
- $\pi\Sigma$ とのエネルギー差： $\ell \sim 1.08 \text{ fm}$



$\bar{K}N$ 複合的という結論は誤差項込みで成立

講義3のまとめ



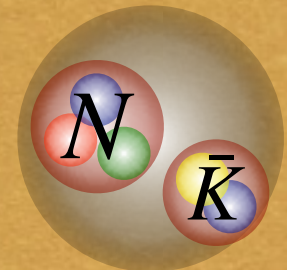
$\Lambda(1405)$ 領域のポール構造は実験データによってよく制限された。“ $\Lambda(1405)$ ” \rightarrow $\Lambda(1405)$ と $\Lambda(1380)$

Y. Ikeda, T. Hyodo, W. Weise, PLB 706, 63 (2011); NPA 881, 98 (2012)

$\Lambda(1380)$	$1/2^-$	**	pdgLive
$\Lambda(1405)$	$1/2^-$	*****	



弱束縛関係式を用いてハドロンの複合性は観測量から調べられる。一般化された弱束縛関係式により $\Lambda(1405)$ の構造が $\bar{K}N$ 分子成分が支配的であることが示された。

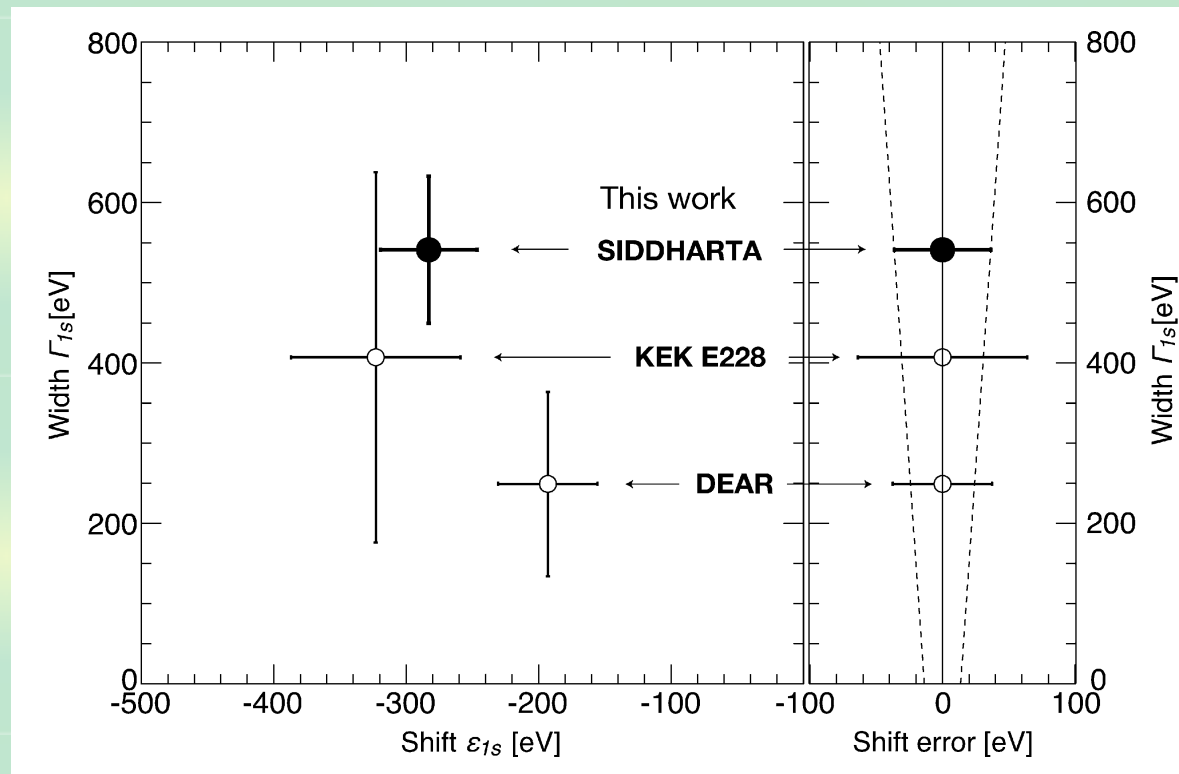
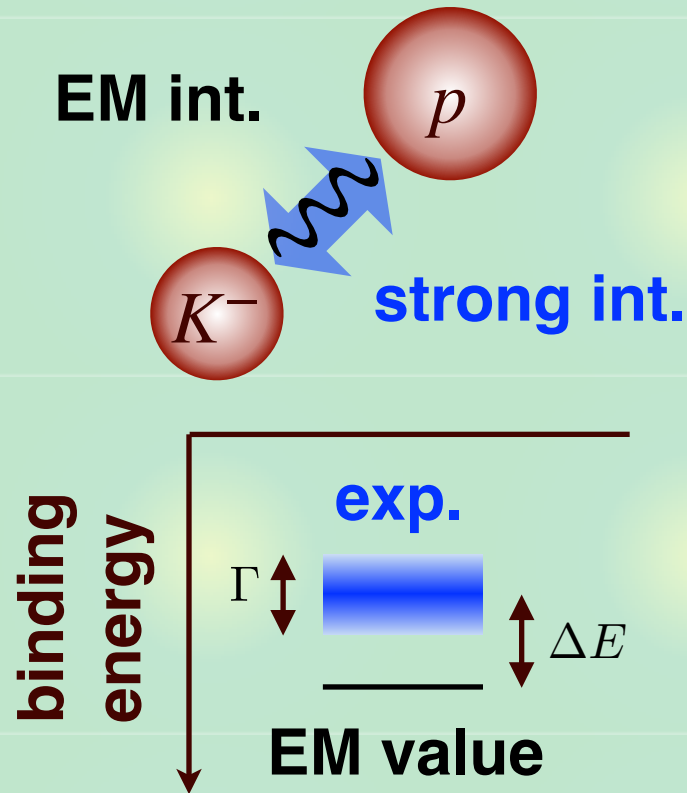


Y. Kamiya, T. Hyodo, PRC93, 035203 (2016); PTEP2017, 023D02 (2017)

SIDDHARTA measurement

Precise measurement of the kaonic hydrogen X-rays

M. Bazzi, *et al.*, PLB 704, 113 (2011); NPA 881, 88 (2012)



- Shift and width of atomic state \longleftrightarrow K^-p scattering length

U.G. Meissner, U. Raha, A. Rusetsky, Eur. Phys. J. C35, 349 (2004)

Quantitative constraint on the $\bar{K}N$ interaction at fixed energy